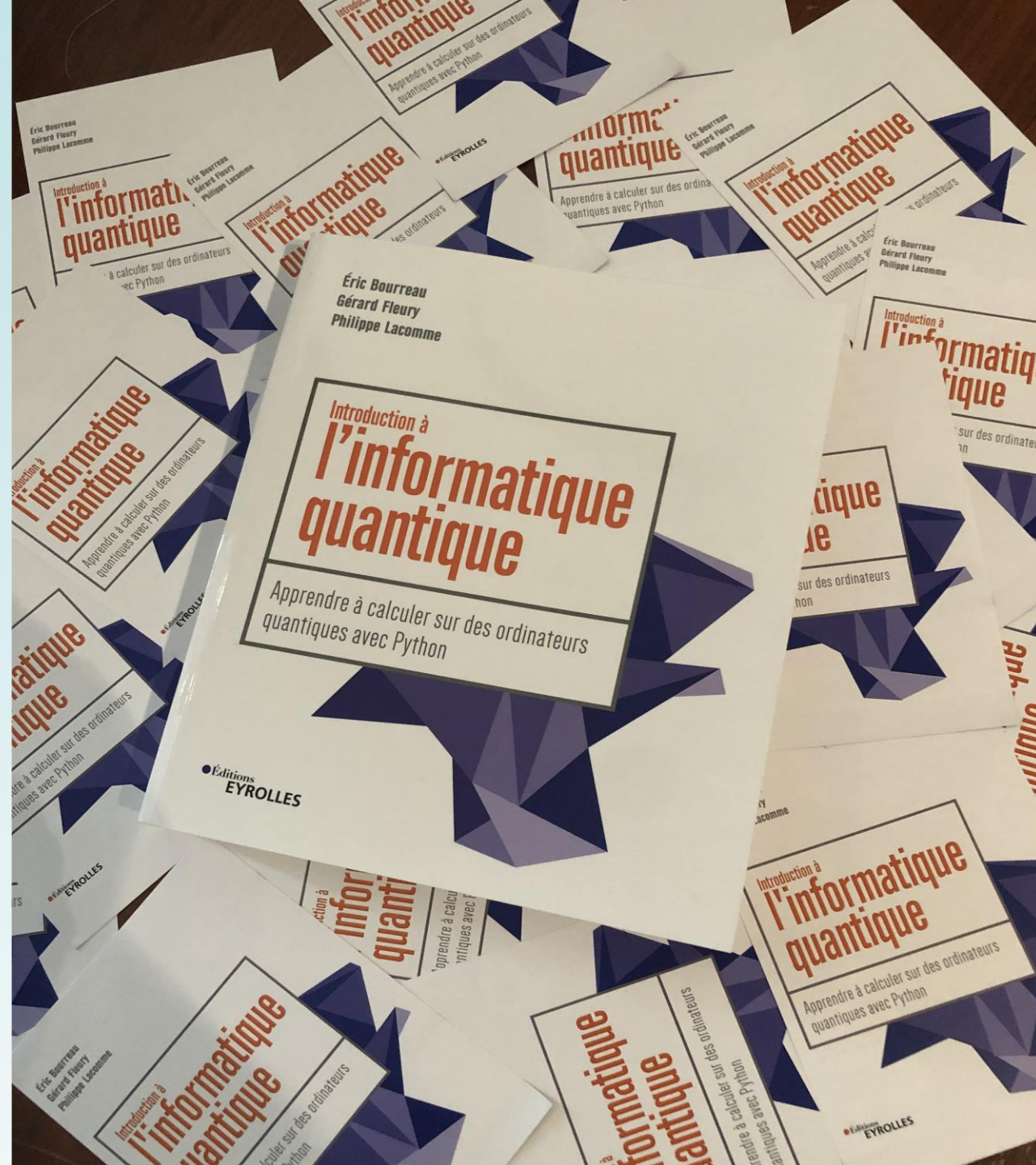


ordinateurs quantiques : nouvelle révolution informatique ?

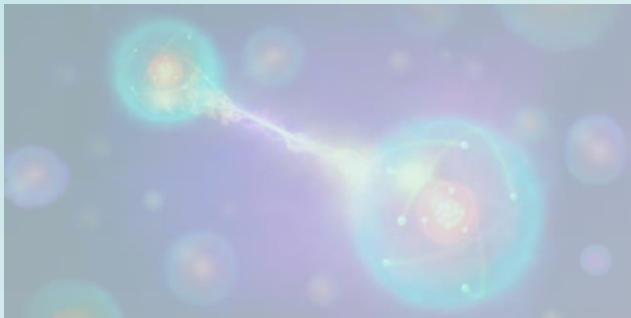
Eric Bourreau, LIRMM (Laboratoire d'Informatique
Robotique et Microélectronique de Montpellier)

Université de Montpellier

eric.bourreau@umontpellier.fr



Breaking News



17:24

📷 ⬇ ⬇

📶 54%

←

Menu

SCIENTES
AVENIR

Connexion

S'ABONNER DÈS 1€

🔗 🔍

QUANTIQUE

Alain Aspect, prix Nobel de physique 2022 : "La deuxième révolution de la physique quantique ne fait que commencer"

Par Jean-François Haït le 04.10.2022 à 12h22, mis à jour le 04.10.2022 à 17h10

🕒 Lecture 12 min.

ABONNÉS

Le prix Nobel de physique 2022 a été attribué au Français Alain Aspect, à l'Américain John F. Clauser et à l'Autrichien Anton Zeilinger, pour leurs travaux en physique quantique. Il y a quelques jours seulement, *Sciences et Avenir* réalisait l'interview d'Alain Aspect pour son hors-série "Les indispensables" dédié à "La grande histoire de la physique" et en kiosque le 21 décembre 2022. Entretien à découvrir en exclusivité sur notre site.

2 RÉACTIONS

Informatique Quantique



- Un ordinateur quantique

- Richard Feynmann

Simulating Physics with Computers, Int. J. Theor. Physics, vol 21, n°6/7, 1982, pp 471-493

« ...a place where the relationship of physics and computation has turned itself the other way and told us something about the possibilities of computation ... »

*« Can you do it with a new kind of computer--**a quantum computer?** »*

- Des phénomènes étranges

- **Superposition**
 - **Intrication**
 - **Fragilité d'observation**



Exemples de Superposition





De la théorie à la pratique

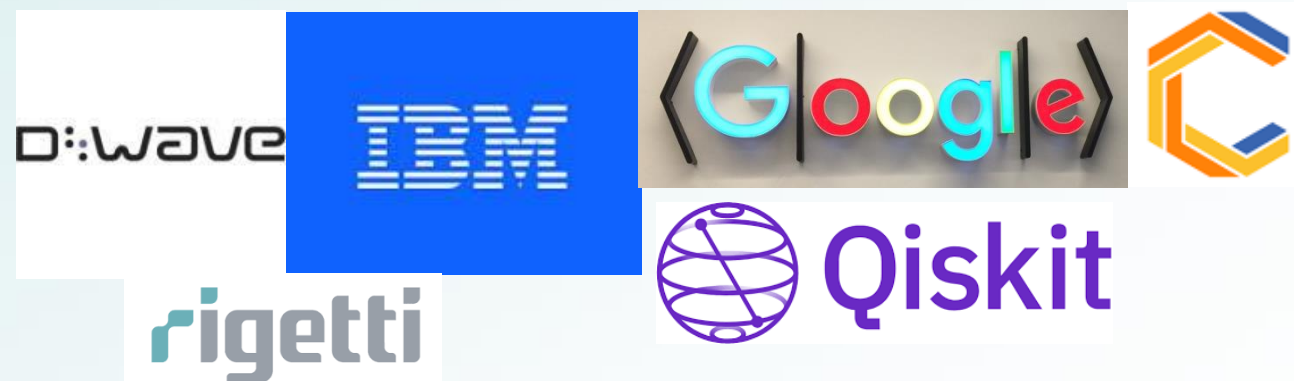
1982 Feynmann

→ 1994 Shor → 1996 Grover

→ 2000 : ordinateur 5 Qubits → 2011 Dwave 1^{er} ordinateur commercial

→ Rigetti, IBM, IonQ, ...

→ 2019 Google : Suprémie Quantique



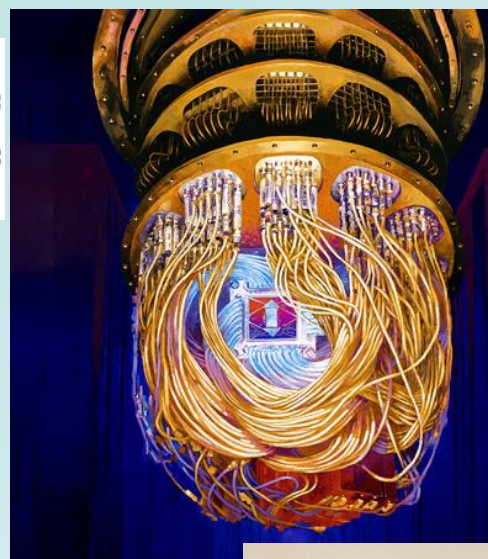
https://en.wikipedia.org/wiki/Timeline_of_quantum_computing_and_communication

Les machines

D-Wave



Technologies utilisées



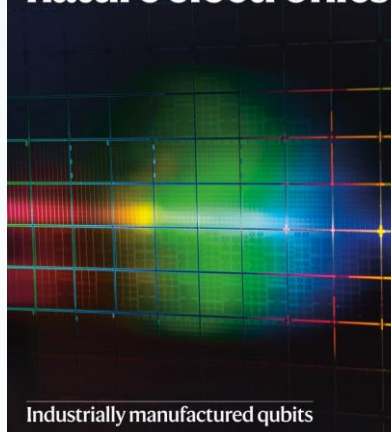
	recuit quantique	boucles supraconductrices	qubits topologiques	optique linéaire	quantum dots silicium	ions piégés	cavités diamants
qubit	supraconducteur effet Josephson	supraconducteur effet Josephson	quasi-particules faites de paires d'anyons	photons	spin d'électrons dans semi-conducteur	ions piégés magnétiquement	spin de noyau d'atomes
# qubit	2048 qubits (D-Wave)	50 qubits (IBM) 72 qubits (Google)	N/A	quelques-uns	49 qubits (Intel)	53 qubits (IonQ) 51 qubits (MIT) 20 qubits (IQOQI)	6 qubits (QDTI)
état	sens du courant	phase de résonance ou sens du courant	sens de l'anyon	phase de photon	spins d'électrons	niveau énergétique de l'ion piégé	niveau d'énergie de la cavité
portes	micro-ondes 5 GHz et effet Josephson	micro-ondes 5 GHz et effet Josephson	inversions 2D d'anyons	filtres polarisants et dichroïques	micro-ondes	laser	laser
mesure	magnétomètre	magnétomètre	fusion d'anyons	détecteurs de photons	consersion spins to charge	fluorescence	fluorescence



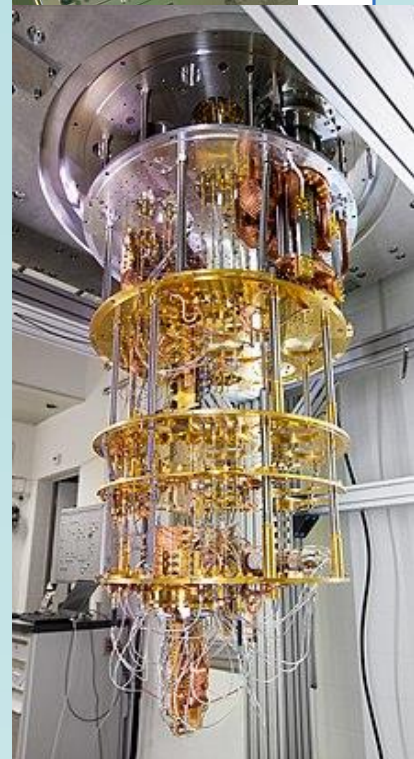
祖冲之 Zuchongzhi



nature electronics



+ Pasqal : atomes froids, 100+ qbits



Les start-ups



Programmer un ordinateur quantique

Théorie : automates finis....

Ecrire un
algorithme

Langage : C/C++
Primitives : for, while, loop....

Compiler

Outils : compilateur

Exécuter

Outils : Machine
Machine : bits

Ecrire un
algorithme

Langage : Qiskit/Q-Asm/Q#
Primitives : portes quantiques

Transpiler

Outils : Transpilateur

Compiler
Envoyer

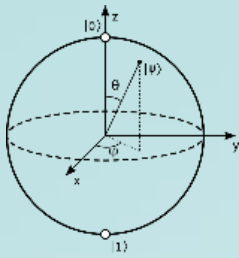
Outils : librairie Python

Exécuter

Outils : Machine Quantique
Machine : qubits

Théorie : espace Hilbert, superposition d'états....

Qubit



- Définition théorique :
Un bit quantique (ou QuBit) est un vecteur de norme 1 dans l'espace canonique \mathbb{C}^2 de Hilbert
- Les bases sont :

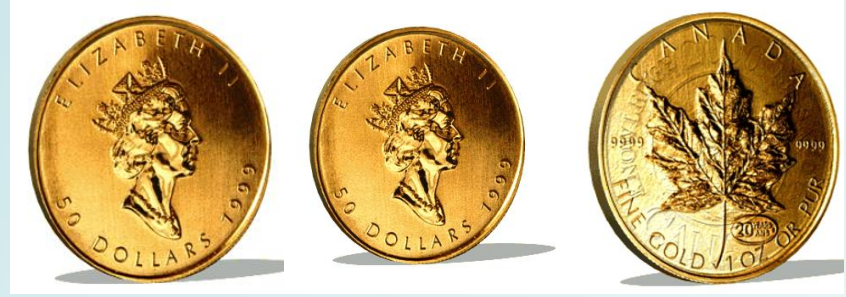
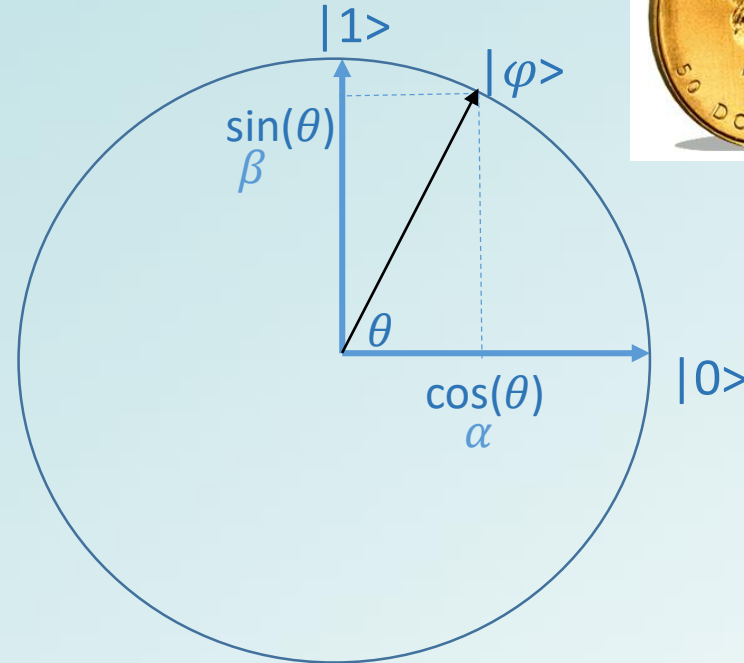
$$|0\rangle = \begin{pmatrix} 1 \\ 0 \end{pmatrix} \text{ et } |1\rangle = \begin{pmatrix} 0 \\ 1 \end{pmatrix}$$

- Son vecteur d'état est une combinaison linéaire entre les deux états $|0\rangle$ et $|1\rangle$

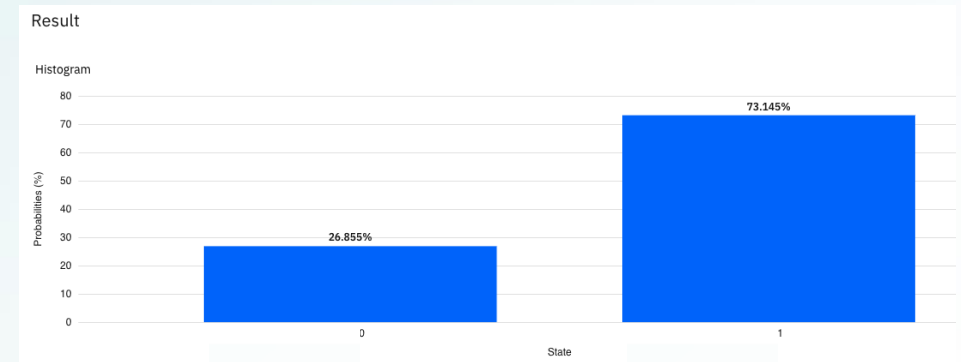
$$|\varphi\rangle = \alpha|0\rangle + \beta|1\rangle \text{ avec } |\alpha|^2 + |\beta|^2 = 1, \alpha \text{ et } \beta \in \mathbb{C}$$

(La représentation graphique ne considère ici que α et $\beta \in \mathbb{R}$)

- Un qubit peut être observé uniquement dans un état aléatoirement choisi entre $|0\rangle$ ou $|1\rangle$ avec une probabilité proportionnelle à son amplitude au carré α^2 et β^2
- Une fois mesuré un qubit est projeté définitivement dans un état (il s'écroule – *collapse*) et détruit toute son information



Il est dans un
une infinité d'
état superposé



Les portes quantiques

- Il est possible de faire des opérations sur les qubits sans détruire les états quantiques
- Ces opérateurs peuvent être représentés par des portes ou des matrices 2×2 unitaires (préservant la norme)
- Nous allons nous intéresser à 4 portes
 - **X** : bitFlip (équivalent au NOT)








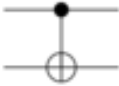
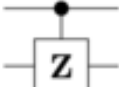
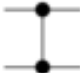

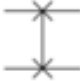
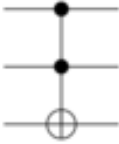


- **H** : permettant de *superposer* deux états

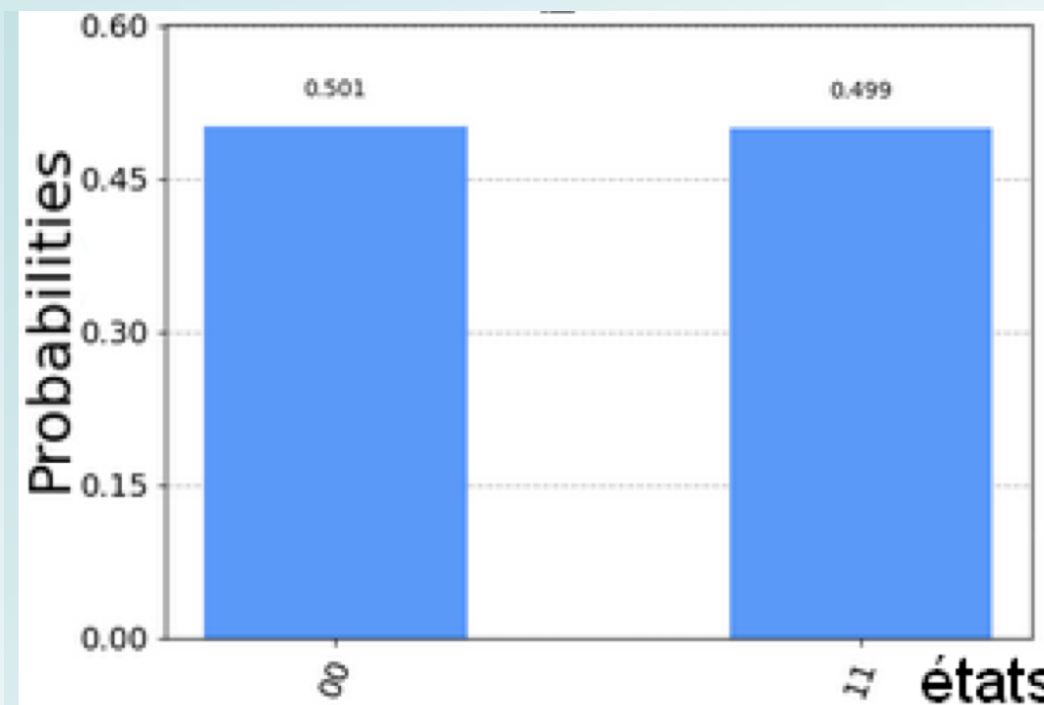
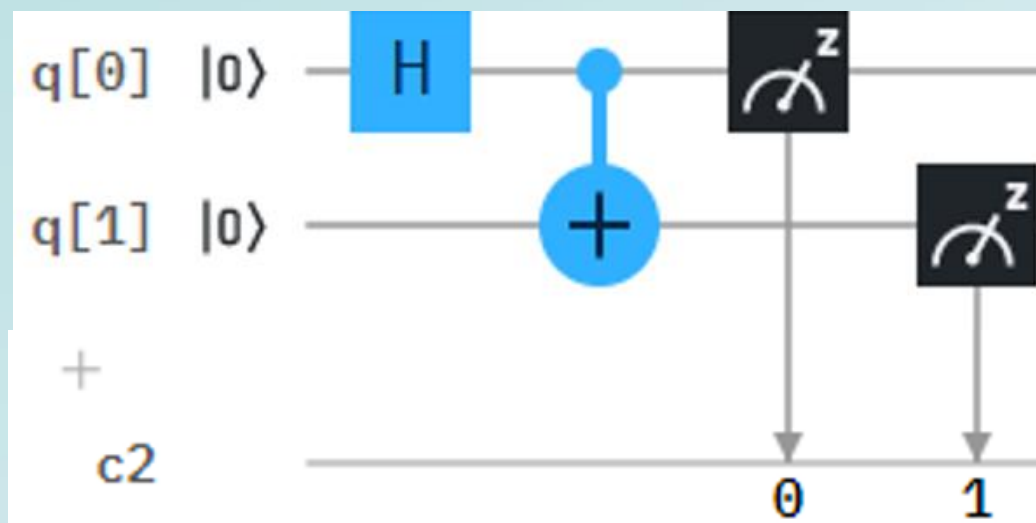


- **CNOT** : porte binaire *intriquant* des états
- **M** : permettant de *mesurer* un qubit

- H, S, T et CNOT forment un ensemble de portes universelles

Operator	Gate(s)	Matrix
Pauli-X (X)	 	$\begin{bmatrix} 0 & 1 \\ 1 & 0 \end{bmatrix}$
Pauli-Y (Y)		$\begin{bmatrix} 0 & -i \\ i & 0 \end{bmatrix}$
Pauli-Z (Z)		$\begin{bmatrix} 1 & 0 \\ 0 & -1 \end{bmatrix}$
Hadamard (H)		$\frac{1}{\sqrt{2}} \begin{bmatrix} 1 & 1 \\ 1 & -1 \end{bmatrix}$
Phase (S, P)		$\begin{bmatrix} 1 & 0 \\ 0 & i \end{bmatrix}$
$\pi/8$ (T)		$\begin{bmatrix} 1 & 0 \\ 0 & e^{i\pi/4} \end{bmatrix}$
Controlled Not (CNOT, CX)		$\begin{bmatrix} 1 & 0 & 0 & 0 \\ 0 & 1 & 0 & 0 \\ 0 & 0 & 0 & 1 \\ 0 & 0 & 1 & 0 \end{bmatrix}$
Controlled Z (CZ)	 	$\begin{bmatrix} 1 & 0 & 0 & 0 \\ 0 & 1 & 0 & 0 \\ 0 & 0 & 1 & 0 \\ 0 & 0 & 0 & -1 \end{bmatrix}$
SWAP	 	$\begin{bmatrix} 1 & 0 & 0 & 0 \\ 0 & 0 & 1 & 0 \\ 0 & 1 & 0 & 0 \\ 0 & 0 & 0 & 1 \end{bmatrix}$
Toffoli (CCNOT, CCX, TOFF)		$\begin{bmatrix} 1 & 0 & 0 & 0 & 0 & 0 & 0 & 0 \\ 0 & 1 & 0 & 0 & 0 & 0 & 0 & 0 \\ 0 & 0 & 1 & 0 & 0 & 0 & 0 & 0 \\ 0 & 0 & 0 & 1 & 0 & 0 & 0 & 0 \\ 0 & 0 & 0 & 0 & 1 & 0 & 0 & 0 \\ 0 & 0 & 0 & 0 & 0 & 1 & 0 & 0 \\ 0 & 0 & 0 & 0 & 0 & 0 & 0 & 1 \\ 0 & 0 & 0 & 0 & 0 & 0 & 1 & 0 \end{bmatrix}$

Hello World (superposé et intriqué)

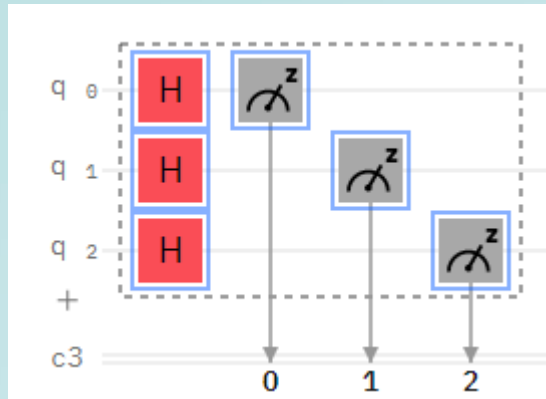


« Etat de Bell »

$$\frac{1}{\sqrt{2}} |00\rangle + \frac{1}{\sqrt{2}} |11\rangle$$

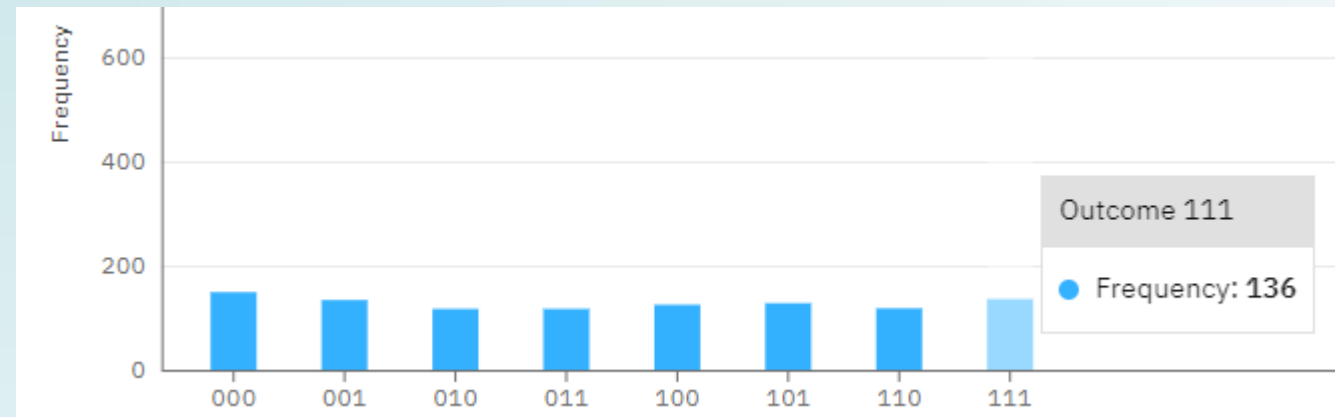
~~$$|\varphi_1\rangle \otimes |\varphi_2\rangle = \alpha_1 \alpha_2 |00\rangle + \alpha_1 \beta_2 |01\rangle + \beta_1 \alpha_2 |10\rangle + \beta_1 \beta_2 |11\rangle$$~~

Représenter des entiers (simultanément)



- Un registre de 3 Qubits s'écrit $|q_2q_1q_0\rangle$ (représentation binaire d'un entier)
- Chaque Qubit superpose l'état $|0\rangle$ et $|1\rangle$ équitablement (porte H)
- La lecture des 3 Qubits (portes grises) fournit aléatoirement un chiffre entre 0 et 7
- L'exécution 1000 fois de ce circuit fournit une distribution de probabilités

Exemple : 3 qubits, 8 états



*"The rule of simulation that I would like to have is that the number of computer elements required to simulate a large physical system is only to be **proportional** to the space-time volume of the physical system. **I don't want to have an explosion.** That is, if you say I want to explain this much physics, I can do it exactly and I need a certain-sized computer. **If doubling the volume** of space and time means I'll **need an exponentially larger computer**, I consider that **against the rules**" Feynmann 1982*

Remarque : 40 Qubits peuvent « stocker » un Tera d'états.

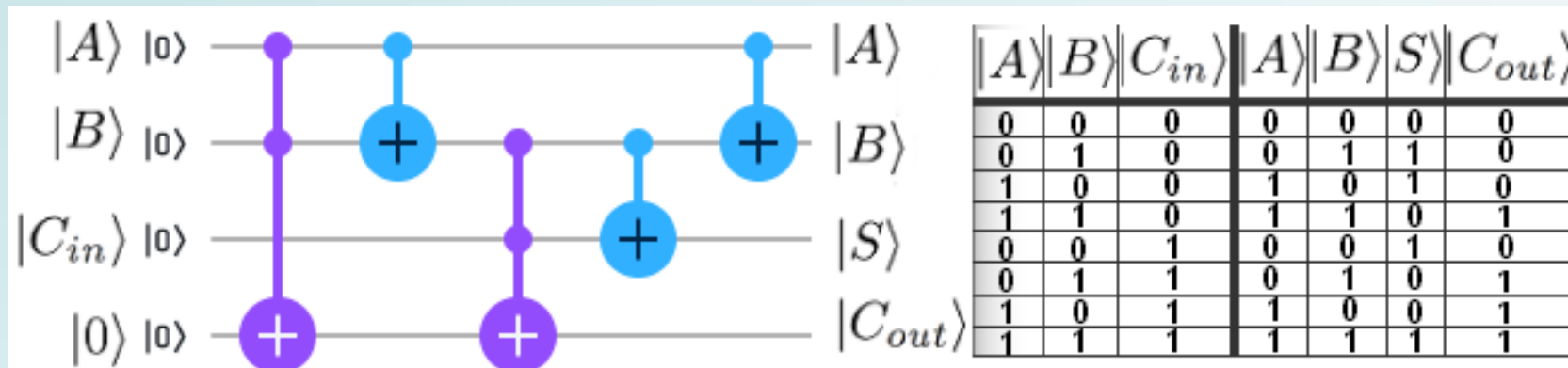
L'addition (adder)

$$\begin{array}{r} 1 \\ 28 \\ + 24 \\ \hline 52 \end{array}$$

$$\begin{array}{r} 111100 \\ 11000 \\ \hline 110100 \end{array}$$

- Des entiers A, B représentés sur des registres de taille $\lceil \log_2(A) \rceil$ et $\lceil \log_2(B) \rceil$
- Somme entre deux entiers comme à l'école : $A+B=S$

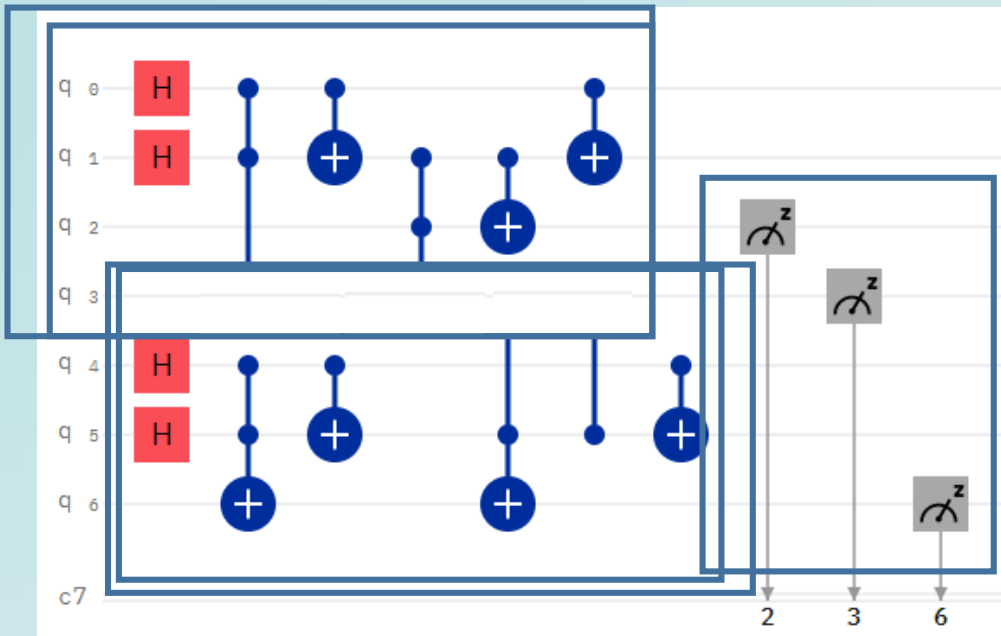
$$\begin{array}{r} c_{n-1} \ c_n \ c_{n-1} \ \dots \ c_2 \ c_1 \ c_0 \\ b_n \ b_{n-1} \ \dots \ b_2 \ b_1 \ b_0 \\ + \ a_n \ a_{n-1} \ \dots \ a_2 \ a_1 \ a_0 \\ \hline s_{n+1} \ s_n \ s_{n-1} \ \dots \ s_2 \ s_1 \ s_0 \end{array}$$



Full Adder : Somme (superposée)

Additionnons 2 registres A et B (stockés sur 2 QuBits) dans S (3 QuBits)

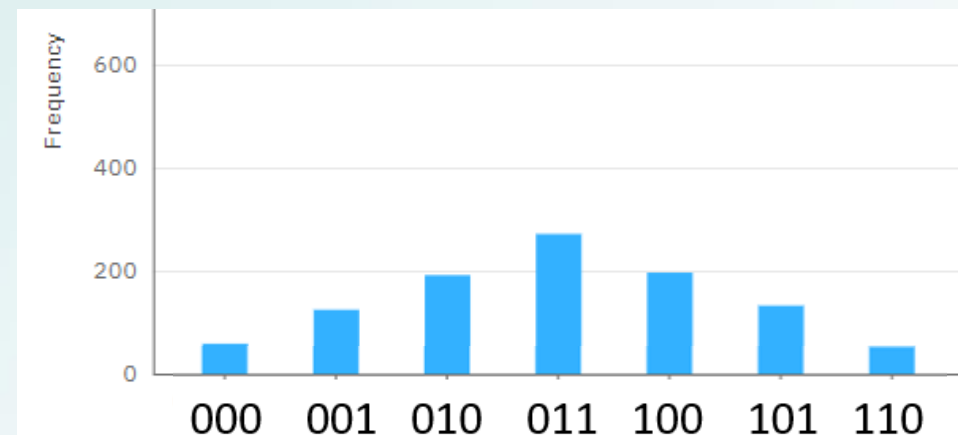
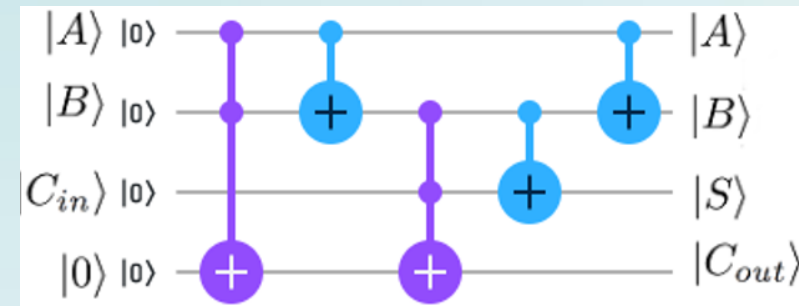
$A = |q_4q_0\rangle$ $B = |q_5q_1\rangle$ $S = |q_6q_3q_2\rangle$



a_0
 b_0
 $0 \dots s_0 \leftarrow$
 $\dots c_1 \dots s_1 \leftarrow$
 a_1
 b_1
 $\dots c_2 \leftarrow$

$$\begin{array}{c}
 c_2 \ c_1 \\
 b_1 b_0 \\
 + a_1 a_0 \\
 \hline
 c_2 s_1 s_0
 \end{array}$$

A
D
D
E
R



- Il « manque » l'état 111
- Les probabilités correspondent à la convolution des deux lois de probabilité uniforme ... en 0(10)

Dérivés de la somme

- Circuit itéré de la somme (et bien plus)

- « *Quantum Networks for Elementary Arithmetic Operations* », Vedral et al, *Physical Review* 95

- Circuit optimisé de la somme

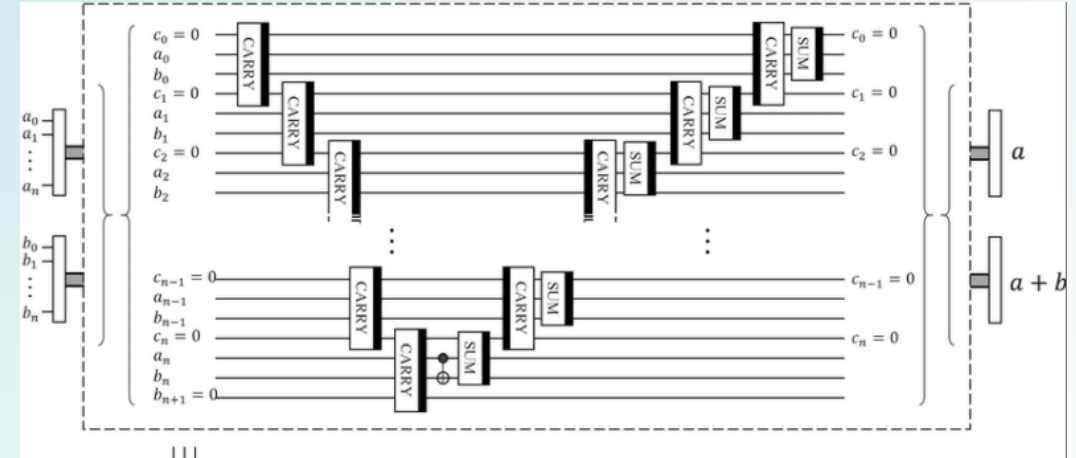
- Steven Cuccaro, Thomas Draper, Samuel Kutin, and David Moulton. *A new quantum ripple-carry addition circuit*. 11 2004. 15
 - $(a,b) \Rightarrow (a, a+b)+1 \text{ carry}$

- Circuit de la soustraction

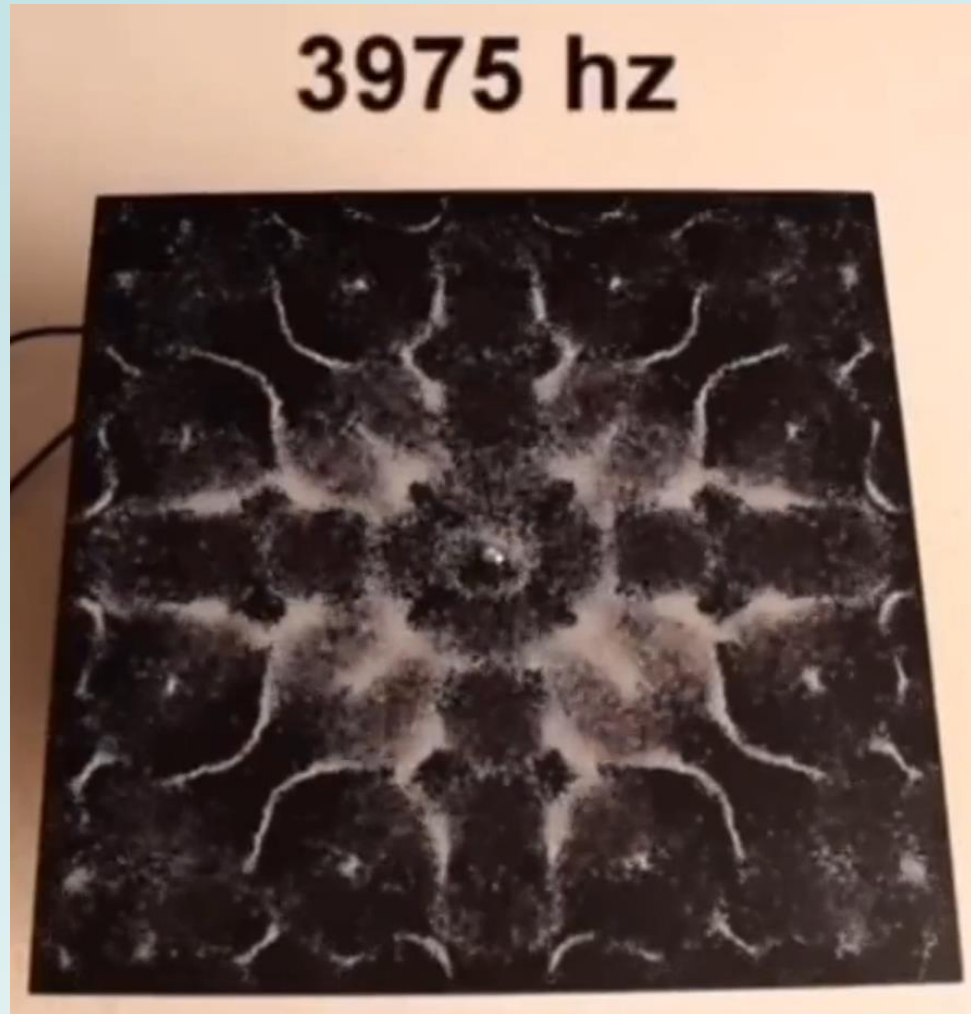
- *Circuit de la somme de droite à gauche*
 - $(a,b) \Rightarrow (a, b-a)$

- Circuit de la comparaison

- À partir de la soustraction, on teste le résultat du carry : 0 si $b \geq a$ et 1 sinon, on inverse le carry (car on cherche le booléen $a < b$) puis on refait l'addition
 - $(a,b) \Rightarrow (a, b-a)+\text{carry} \Rightarrow (a,b)+\text{carry}$ « $a < b$ »



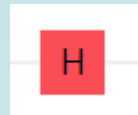
Dualité Onde - Corpuscule



L'informatique quantique



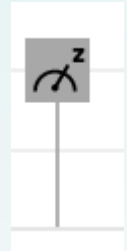
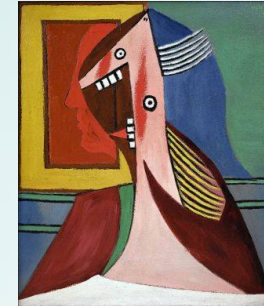
Bit d'info de profil
0 1



Superposition



Déformation de la fonction d'onde



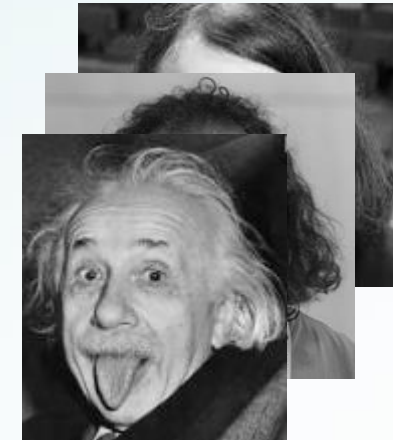
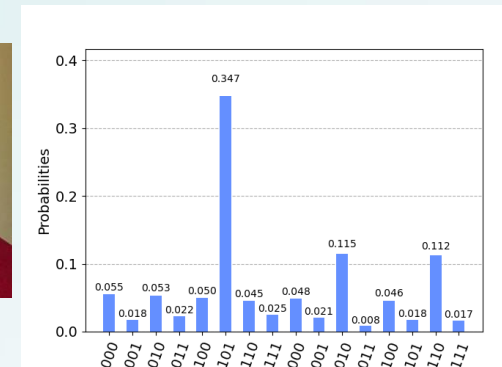
Mesure

Algorithmes de Grover

- Lov Grover (Bell Labs) découvre un algorithme qui permet de trouver un élément dans une table de taille N non triée ... en \sqrt{N}
- 3 étapes
 - Initialisation sur n qubits des $2^n=N$ états possibles
 - Demander à un oracle (U_ω) de définir l'élément à trouver
 - Révéler où est l'élément

← Superposition
← Intrication
← Mesure

Repeat $O(\sqrt{N})$ times



<https://roadef2021.sciencesconf.org/resource/page/id/11>
Définition d'une Recherche Opérationnelle Quantique (26/04/2021)



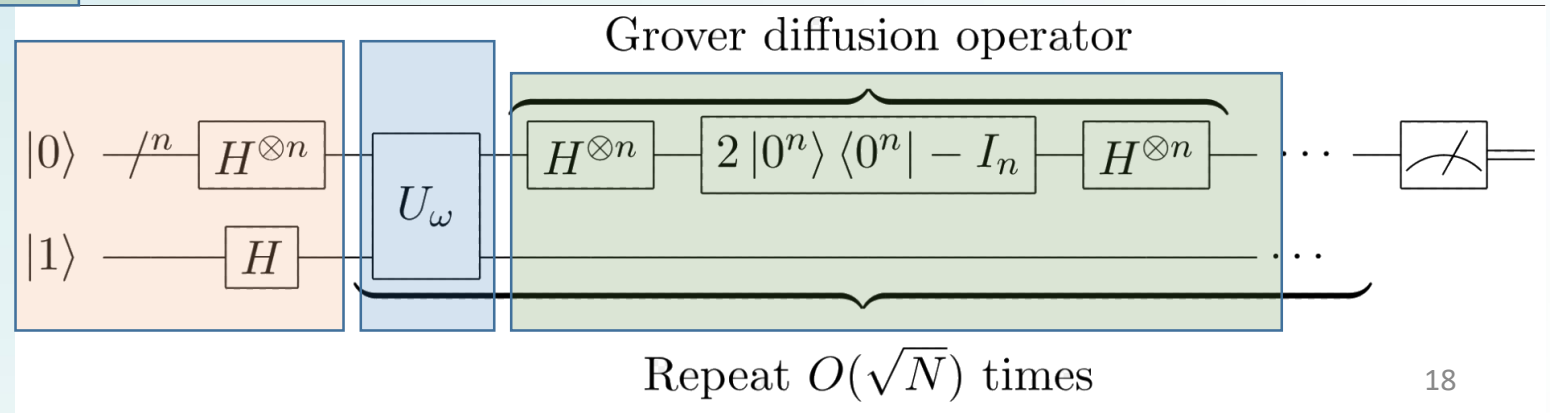
Algorithme de Grover

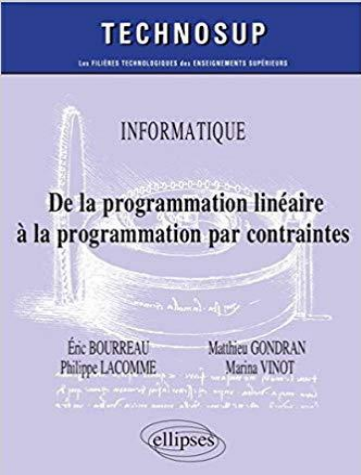
- Lov Grover (Bell Labs) découvre un algorithme qui permet de trouver un élément dans une table de taille N non triée en \sqrt{N}
- 3 étapes
 - Initialisation sur n qubits des $2^n=N$ états possibles
 - Demander à un oracle (U_ω) de définir l'élément à trouver
 - Révéler où est l'élément

← Superposition

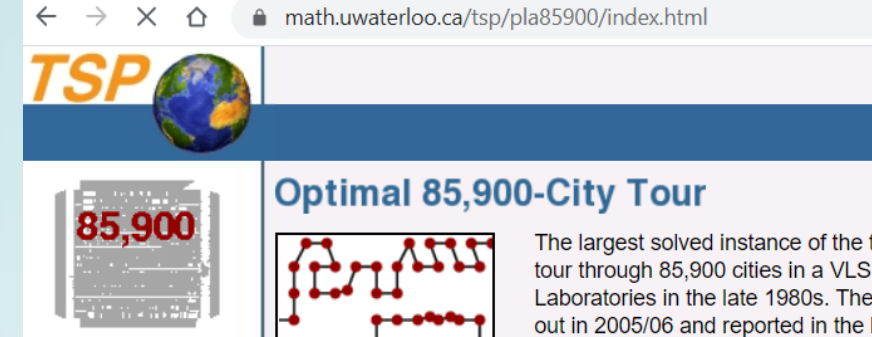
← Intrication

← Mesure





Voyageur de commerce



5.9 Modélisation PPC du TSP

5.9.1 Principe général

Une solution du TSP peut s'écrire sous la forme d'un vecteur r : par exemple, $r = [2; 4; 5; 3; 1]$ représente la tournée : 2-4-5-3-1 comme le montre la Figure 5-28.

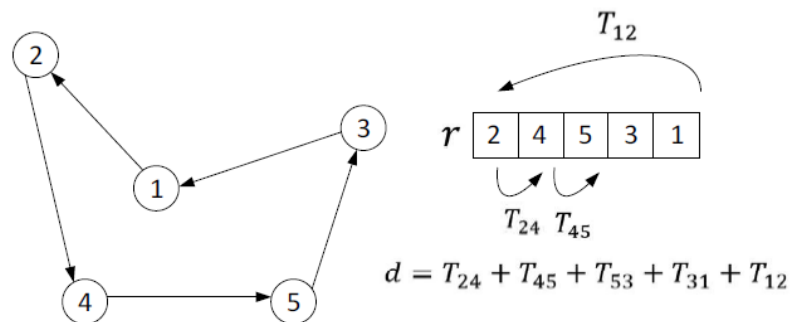


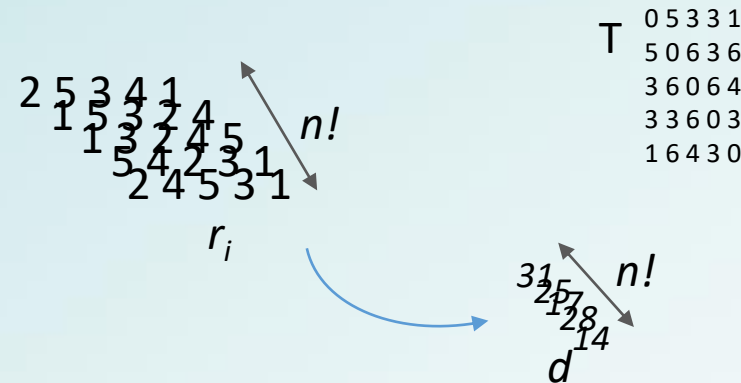
Figure 5-28. Une solution modélisée avec le vecteur r

Le coût d'une solution (distance totale) est la somme des distances à parcourir entre deux villes successives. Pour la tournée précédente, la distance est $d = T_{2,4} + T_{4,5} + T_{5,3} + T_{3,1} + T_{1,2}$.

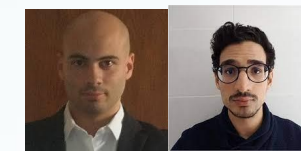
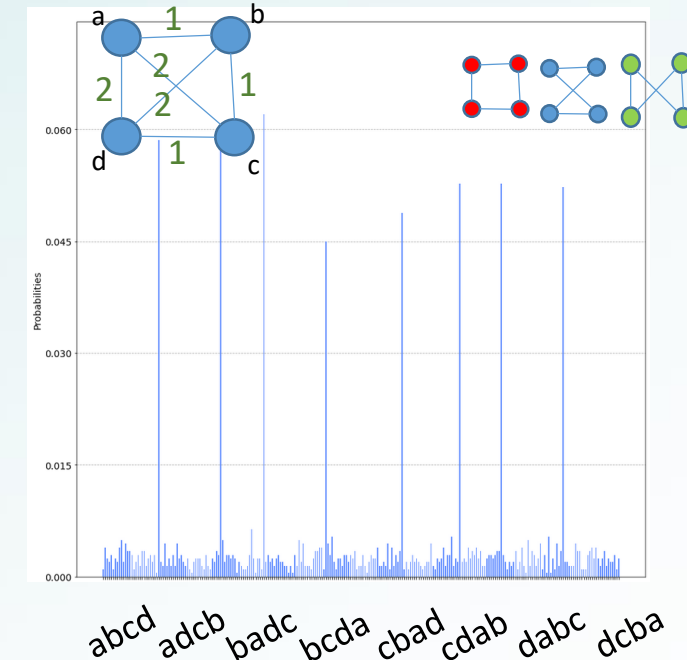
Modélisation PPC du problème

$$\begin{aligned} \forall i = 1..N & \quad r_i \in [1; n] \\ \forall i = 1..N, \forall j = 1..N & \quad r_i \neq r_j \\ d &= \sum_{i=1}^{N-1} T_{r_i, r_{i+1}} + T_{r_N, r_1} \\ \text{Min } d & \end{aligned}$$

- Le problème consiste à visiter une et une seule fois chaque ville en minimisant la distance totale parcourue.
- Modélisation Quantique



- Minimiser somme sur i des $D_{P_i P_{i+1}}$
 ➔ accesseur d'une table
 $(i, P_i, P_{i+1}, D_{P_i P_{i+1}})$
- Utiliser Grover pour exhiber le minimum de d



Conclusion

- « En Informatique, la moitié des langages et des outils que vous utilisez actuellement auront disparus dans 5 ans. »

Stephano Cerri, UM

- L'informatique quantique est une réalité
- Cette présentation simplifie énormément (Clifford)

